

FOTOGRAFIAS

9009.- Panorámica con la Sierra de Camaces en primera línea y los sedimentos terciarios que la recubren al fondo.

9010.- Panorámica desde la Sierra de Camaces. Depósitos paleozoicos en primer término y cobertura terciaria.

9011.- Conglomerados arcósicos verdes (U.T.S. P3). Nótese la abundancia y tamaño de los feldespatos. Centímetro de lidita 7 cm. Dehesa de Campanero.

9012.- Conglomerados arcósicos (moda 4 mm) con hiladas de cantos (centímetro 5 cm) de cuarzo. Dehesa de Campanero.

9013.- Detalle de rizocreciones remarcadas por carbonato. (U.T.S. P3 Tramo Arcósico). Dehesa de Campanero.

9014.- Arenas gruesas con cantos dispersos de 2 cm y abundante feldespato. (U.T.S. P3 Tramo Arcósico). Dehesa de Campanero.

9015.- Superficie morfológica inclinada hacia el río Agueda. Esta superficie marca el techo de la U.T.S. P3 y la panorámica está tomada desde el Teso de los Carrasqueros.

9016.- Conglomerados y arenas correspondientes al tramo conglomerático de la U.T.S. P3. La Maillera.

9017.- Alteración roja (Mioceno) sobre depósitos paleozoicos. Proximidades de Aldeanueva de Portonovis.

Hoja 500 (Villar del Ciervo). Terciario.

9018.- Conglomerados con abundante matriz lutítica roja (U.T.S. N1 Detritica Intermedia). Proximidades de Aldeanueva de Portonovis.

9019.- Aluvión cuaternario cortando a sedimentos arcósicos oligocenos. Proximidades Caserio de Sahucedille.

9020 y 9021.- Detalle del aluvión Cuaternario. Proximidades de Sahucedille.

- JF-9111.- Granodiorita de Bañobárez. Coexistencia de dos direcciones de orientación de los megacristales de feldespato potásico.
- JF-9113.- Granodiorita de Bañobárez. Afloramiento situado en la zona de mayor abundancia de enclaves tonalíticos.
- JF-9114.- Terminación adelgazada de un enclave tonalítico en la Granodiorita de Bañobárez.
- JF-9115.- Contactoneto entre la Granodiorita de Bañobárez y el Granito de Villar de Ciervo. Se aprecian diferencias en el color y en la morfología y tamaño de los fenocristales de feldespato potásico en las dos rocas.
- JF-9116.- Enclaves tonalíticos en la Granodiorita de Bañobárez.
- JF-9117.- Concentración de fenocristales de feldespato potásico asociada a schlierens biotíticos (indicadores de la existencia de flujo magmático) en el Granito de Villar de Ciervo.
- JF-9118.- Detalle de JF-9117.
- JF-9119.- Zona de mingling de la Granodiorita de Bañobárez (Puerto Seguro). Se observan tránsitos graduales entre las rocas híbridas y los enclaves tonalíticos.
- JF-9120.- Misma localidad que JF-9119. Los megacristales de la Granodiorita de Bañobárez rodean al enclave.
- JF-9121.- Enclave de Granodiorita de Bañobárez en el Granito de Villar de Ciervo.
- JF-9122.- Detalle de JF-9121.
- JF-9123.- Detalle de JF-9121. Se observan orientaciones diferentes en los feldespatos de cada una de las rocas.
- JF-9124.- Macizo de Villar de Ciervo. Contacto entre el Granito biotítico grueso y el Granito biotítico fino.
- JF-9125.- Macizo de Villar de Ciervo. Venas de granito biotítico grueso cortando a la facies fina.
- JF-9126.- Cavidades miarolíticas en la facies fina del Macizo de Villar de Ciervo.
- JF-9127.- Macizo de Villar de Ciervo. Granito biotítico grueso.
- JF-9128.- Schlierens biotíticos en la facies gruesa del Macizo de Villar de Ciervo.

JF-9130.- Visu Granodiorita de Bañobárez.

JF-9132.- Visu Granodiorita de Bañobárez.

JF-9133.- En el contacto sur entre el Granito biotítico grueso
y el encajante metamórfico son frecuentes las bolsadas
holofeldespáticas y los enclaves muy biotíticos.

JF-9134.- Mismo afloramiento que JF-9133

FOTO 1: Batolito de Villar de Ciervo-Bañóbarez. Granodiorita de Bañobárez, facies tonalítica-granodiorítica. Afloramiento situado en el Km 36,3 de la Ctra de Ciudad Rodrigo a Lumbrales.

FOTO 2: Granodiorita de Bañobárez, facies tonalítica granodiorítica , tomada en el mismo afloramiento que la fotografía anterior.

FOTO 3: Panorámica del Macizo de Villar de Ciervo (Bitolito de Villar de Ciervo-Bañóbarez). Granito biotítico, porfídico de grano grueso o intermedio en el Km 29,7 de la Ctra de Ciudad Rodrigo a Lumbrales.

FOTO 4: Detalle del granito biotítico-porfídico de grano grueso (Macizo de Villar de Ciervo). Fotografia tomada en el Km 29,7 de la Ctra de Ciudad Rodrigo a Lumbrales.

FOTO 5: Granito biotítico-porfídico de grano intermedio a fino (Macizo de Villar de Ciervo). Afloramiento en el Km 31 de la Ctra de Ciudad Rodrigo a Lumbrales.

FOTO 6: Granito biotítico porfídico de grano intermedio a fino (Macizo de Villar de Ciervo). Afloramiento en el Km 31 de la Ctra de Ciudad Rodrigo a Lumbrales.

FOTO 7: Serie Superior. Conglomerados con cantes blandos intercalados, alternando con pelitas verdes y/o grises. Río Agueda a la altura de Peñas de Valdempolo.

FOTO 8: Serie Superior. Cantes blandos intercalados en conglomerados (base de los mismos). Río Agueda, en las proximidades de Peñas de Valdempolo.

FOTO 9: "Debris Flow" en pelitas verdes y/o grises de la Serie Superior. Río Agueda dos Kms al SO de Castillejo de Martín Viejo.

FOTO 10: "Debris flow" en pelitas verdes y/o grises de la Serie Superior. Río Agueda, dos Kms al SO de Castillejo de Martín Viejo.

FOTO 11: "Slumps" en los carbonatos turbidíticos de la Serie Superior. Proximidades del Molino de Sexmiro en el Río Agueda.

FOTO 12: "Slumps" en los carbonatos turbidíticos de la Serie Superior. Proximidades del Molino de Sexmiro en el Río Agueda.

FOTO 13: "Slumps" en carbonatos turbidíticos de la Serie Superior. Dos Kms al E de Sexmiro.

FOTO 14: Pliegues de primera fase hercínica en las pelitas microbandeadas de la Serie Superior. 2,5 Kms al E de Sexmiro.

A photograph showing a gravelly surface with three large, irregular stones. A small, dark, cylindrical object is positioned between the two larger stones. The surface is covered with smaller, light-colored gravel and some dry grass.

VM
-1-



VM
-10-



VM
-11-



VM
-12-



VM
-13-



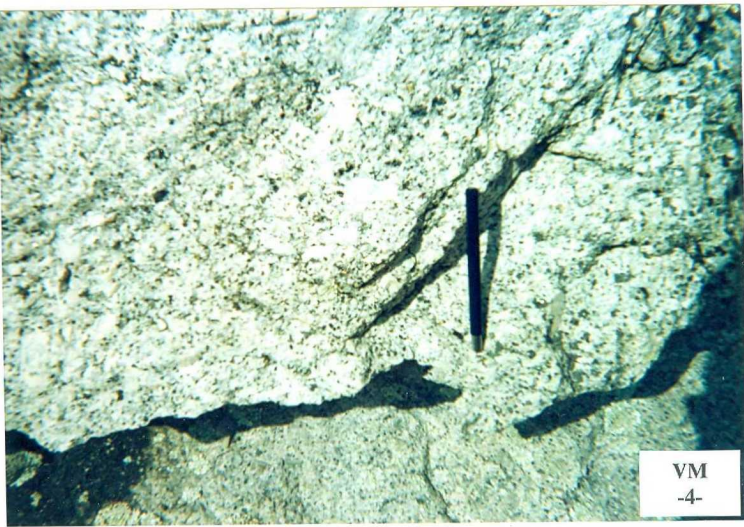
VM
-14-



VM
-2-



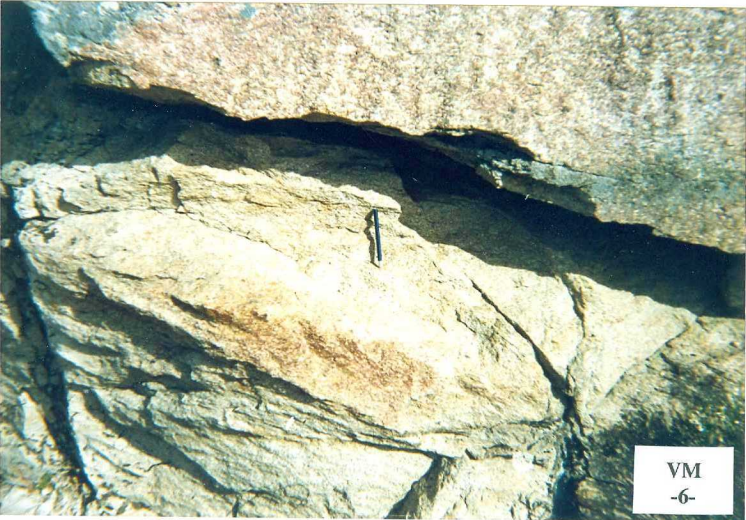
VM
-3-



VM
-4-



VM
-5-



VM
-6-



VM
-7-



VM
-8-



VM^A
-9-



















0 1 3 5 7

CENTIMETRES

















JF
q9111



JF
9113



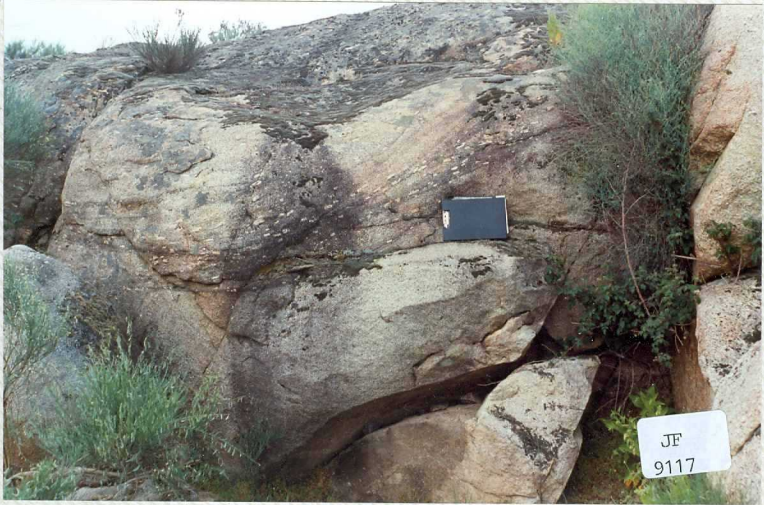
JF
9114



JF
9115



JF
9116



JF
9117



JF
9118

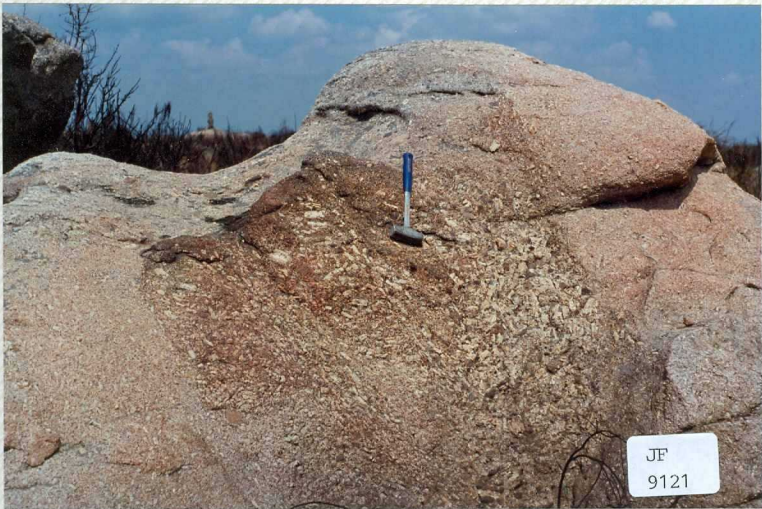


JF
9119



JF

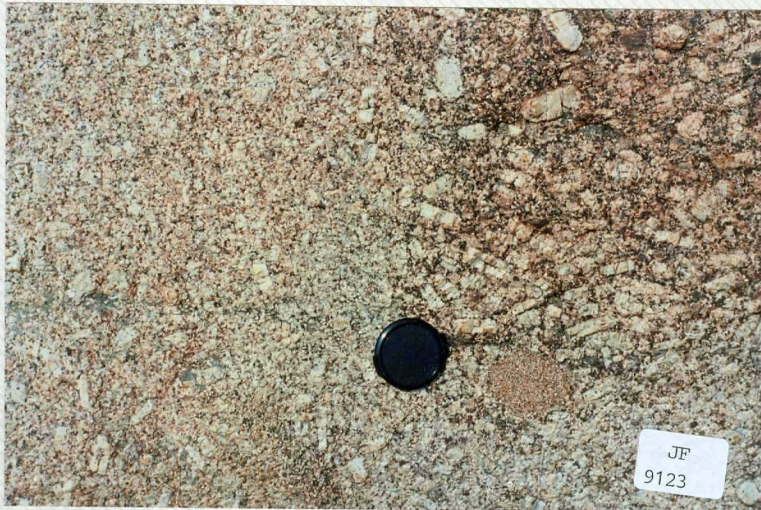
9120



JF
9121



JF
9122



JF
9123



JF

9124



JF

9125



JF
9126



JF

9127



JF
9128



JF
9130



JF

9132



JF
9133



JF
9134